

Исследование корреляции распределения масс осколков деления с квантовыми характеристиками ядра в седловой точке

П. П. Дьяченко, Б. Д. Кузьминов, Л. С. Куцаева, А. И. Сергачев, А. Н. Утюжников

Характеристики процесса деления ядер — энергетические зависимости сечения деления [1] и угловой анизотропии [2], распределения энергии деления между кинетической энергией осколков и их энергией возбуждения [3] — свидетельствуют о том, что в момент разрыва ядро, по-видимому, «помнит» те свойства, которыми оно обладало в седловой точке. Естественно предположить, что и распределение масс осколков должно сохранить следы квантовых характеристик, которые свойственны сильно охлажденному ядру в седловой точке.

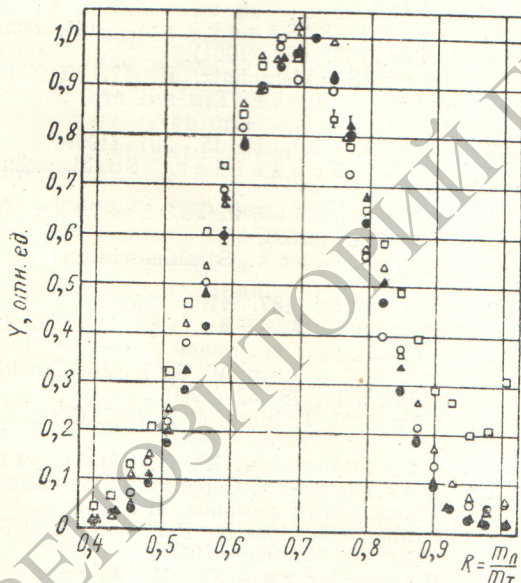


Рис. 1. Зависимость выхода осколков от отношения масс: ●, ▲, △, ○, □ — деление нейтронами с энергией 1,5; 2,0; 5,0; 6,5 и 15 МэВ соответственно.

Для исследования этого эффекта выбрали ядро U^{238} . Как известно [4], энергетическая зависимость угловой анизотропии при делении U^{238} нейтронами обладает резко выраженным максимумом при $E_n = 1,5$ МэВ. Это, по-видимому, связано с тем, что процесс

деления происходит в основном по одному каналу. В настоящей работе сравнивались распределения масс осколков при делении U^{238} нейтронами с энергией 1,5 и 2 МэВ. Кроме того, были проведены измерения при E_n , равной 5; 6,5 и 15 МэВ. Для нахождения распределения масс осколков импульсы, создаваемые парными осколками в двойной ионизационной камере с сетками, подавались на специальное электронное устройство для деления меньшей амплитуды на большую. В работе использовался слой делящегося вещества 30 мкг/см², нанесенный на органическую пленку толщиной 10 мкг/см².

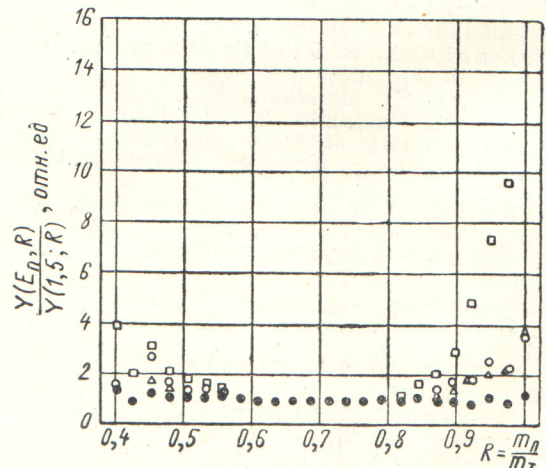


Рис. 2. Зависимость относительных выходов $Y(E_n, R)$ при энергиях нейтронов 2,0; 5,0; 6,5; 15 МэВ к выходу $Y(1,5, R)$ при энергии 1,5 МэВ от отношения масс:

$$\bullet - \frac{Y(2,0;R)}{Y(1,5;R)}; \circ - \frac{Y(5,0;R)}{Y(1,5;R)}; \triangle - \frac{Y(6,5;R)}{Y(1,5;R)}; \square - \frac{Y(15;R)}{Y(1,5;R)}.$$

На рис. 1 представлена зависимость выхода осколков Y от отношения масс $R = \frac{m_L}{m_T}$, на рис. 2 — зависимость $\frac{Y(E_n; R)}{Y(1,5; R)}$ от R . Небольшой рост относительной

вероятности симметричных и сильно асимметричных способов деления при энергии нейтронов $E_n = 2 \text{ МэВ}$, по-видимому, не связан со спецификой канала деления при $E_n = 1,5 \text{ МэВ}$, а является общей тенденцией увеличения вероятности этих способов деления с ростом энергии возбуждения, о чем свидетельствуют результаты измерений, представленные на рис. 2. Уменьшение отмеченного эффекта при $E_n = 6,5 \text{ МэВ}$ связано с уменьшением средней энергии возбуждения делящегося ядра из-за вклада реакции (n, n') .

Следует отметить, что в данной работе поправка на ионизационный дефект не вводилась, поскольку сравнивались результаты, полученные в одинаковых экспериментальных условиях.

Оценки показали, что эффект движения центра масс существенно меньше наблюдавшегося на опыте эффекта при каждой энергии нейтронов, вызывавших деление.

Из результатов измерений следует, что при делении U^{238} нейtronами с энергией $1,5 \text{ МэВ}$ квантовые

характеристики ядра в седловидной точке, проявляющиеся в величине угловой анизотропии, на распределении масс не отражаются.

Авторы признательны И. И. Бондаренко за обсуждение работы.

Поступило в Редакцию 4/I 1963 г.

ЛИТЕРАТУРА

- Г. Н. Смирекин, В. Г. Несторов, И. И. Бондаренко. «Атомная энергия», 13, 366 (1962).
- В. Г. Несторов, Г. Н. Смирекин, И. И. Бондаренко. «Атомная энергия», 11, 248 (1961).
- Ю. А. Блюмкина и др. «Атомная энергия», 15, 64 (1963).
- J. Simmons, R. Henkel. Phys. Rev., 120, 198 (1960).

УДК 546.666.02

Резонансные уровни изотопов эрбия

М. Ф. Власов, В. П. Вертебный, А. Л. Кирилюк

С помощью механического прерывателя нейтронов, описанного в работе [1], методом времени пролета были измерены полные нейтронные сечения для разделенных изотопов Er^{166} , Er^{167} и естественной смеси изотопов эрбия. Прерыватель установлен на одном из горизонтальных каналов реактора ВВР-М. Диаметр

обогащенного BF_3 . Время пролета измерялось с помощью 256-канального временного анализатора с памятью на ферритах. Образцы разделенных изотопов были приготовлены в виде Er_2O_3 , а природный эрбий в виде $\text{Er}_2(\text{SO}_4)_3$. Изотопный состав и толщина образцов приведены в табл. 1.

Таблица 1
Изотопный состав и толщина образцов

Изотоп	Образец					
	Er^{166}		Er^{167}		природный эрбий	
	Состав, %	Толщина, $10^{20} \text{ ядер}/\text{см}^2$	Состав, %	Толщина, $10^{20} \text{ ядер}/\text{см}^2$	Состав, %	Толщина, $10^{20} \text{ ядер}/\text{см}^2$
Er^{166}	89	12,2	3,7	0,37	33,4	2,4
Er^{167}	6,4	0,877	79	7,93	22,9	1,64
Er^{168}	3,5		16,2		27,1	
Er^{170}	0,9	0,63	0,5	1,7	14,9	3,14
$\text{Er}^{162}, 164$	0,2				1,7	

ротора 208 μm ; ширина щели изменяется вдоль пучка от 0,25 до 2,15 мм ; высота щели 25 мм .

Система коллимации формирует нейтронный пучок так, что его ширина в месте расположения образца составляет 0,25 мм . Все измерения выполнены при скорости вращения ротора 5300 $\text{об}/\text{мин}$, ширине канала 8 $\mu\text{мек}$ и пролетном расстоянии 18,61 м . Нейтроны детектировались батареей счетчиков, наполненных

На рисунке показаны кривые пропускания для образцов Er^{166} , Er^{167} и естественной смеси изотопов. Путем сравнения кривых и обработки резонансных провалов по методу площадей были идентифицированы резонансные уровни для изотопов эрбия. Уровни и параметры резонансов для некоторых из них приведены в табл. 2. Параметры получены в предположении $G = 0,0883 \text{ эв}$ [3].